

세미나 발표 자료: FLIP

FLIP: Cross-domain Face Anti-spoofing with Language Guidance

Title : FLIP: Cross-domain Face Anti-Spoofing with Language Guidance

Authors : Koushik Srivatsan, Muzammal Naseer, Kartik Nandakumar

Venue : IEEE International Conference on Computer Vision (ICCV)

Year : 2023

Task : Face Anti-Spoofing, Cross-domain generalization, Vision-Language Models

Keywords : Face Anti-Spoofing, Cross-domain Generalization, Vision-Language Pre-training(VLP), CLIP, Language Guidance, Contrastive Learning, Vision Transformer(ViT)



안전한 Face Anti-Spoofing (FAS)을 위해서는 Cross-domain generalize performance가 필요한데 CLIP이라는 모델이 Vision task에서 generalization이 잘 된다고 하니, FAS에도 CLIP 모델을 활용하여 Robust Cross-domain generaizability를 달성해보자.

1. Introduction - The Critical Need for Robust Face Anti-Spoofing (FAS)

왜 Face Anti-Spoofing (FAS)이 중요한가?

- Face Recognition의 보편화
 - 개인장치부터 공항 탑승 게이트 출입 통제, 금융 거래까지
 - 편리하고 비대면이라는 장점
- 취약점: Presentation Attacks

- 사진, 비디오 재생, 3D 마스크 등으로 신분을 위조하려는 시도
- FAS 시스템의 보안을 무력화시키는 핵심 위협
- 결론: 안전한 얼굴 인식 시스템을 위해 FAS는 필수이다

2. The Major Challenge: Cross-Domain Generalization

기존 FAS 방법들의 핵심적인 문제점 → 낮은 일반화 성능

- Intra-domain vs Cross-domain
 - **Intra-domain:** 학습 데이터와 동일한 환경(카메라, 조명, 위조 방식)에서는 높은 성능
 - **Cross-domain:** 학습에서 보지 못한 새로운 환경(카메라 센서, 조명 변화, 위조 도구, 환경 조건)에서는 성능이 급격히 저하
- 원인
 - **Domain Gap:** 소스 도메인(학습 데이터)과 타겟 도메인(실제 환경) 간의 근본적인 분포 차이
 - **데이터 부족:** 실제 환경의 다양한 변화를 모두 커버할 만큼 충분한 학습 데이터 확보의 어려움
- Prior Work Limitations
 - **CNN 기반 방법:** 주로 지역적 특징(Local features)에 의존하여 전역적(global) 위조 패턴 파악에 한계
 - **ViT 기반 방법:** 장거리 의존성(long-range dependencies) 포착에 강점
 - 하지만 ImageNet 등 이미지 데이터로만 사전 학습된 ViT는 FAS 작업에 특화된 의미론적 이해가 부족
 - 추가적인 Adaptive modules나 도메인/공격 유형 정보를 요구하는 경우가 많아서 일반화 성능이 떨어짐

3. Core Idea: Leveraging Vision-Language Pre-training (VLP)

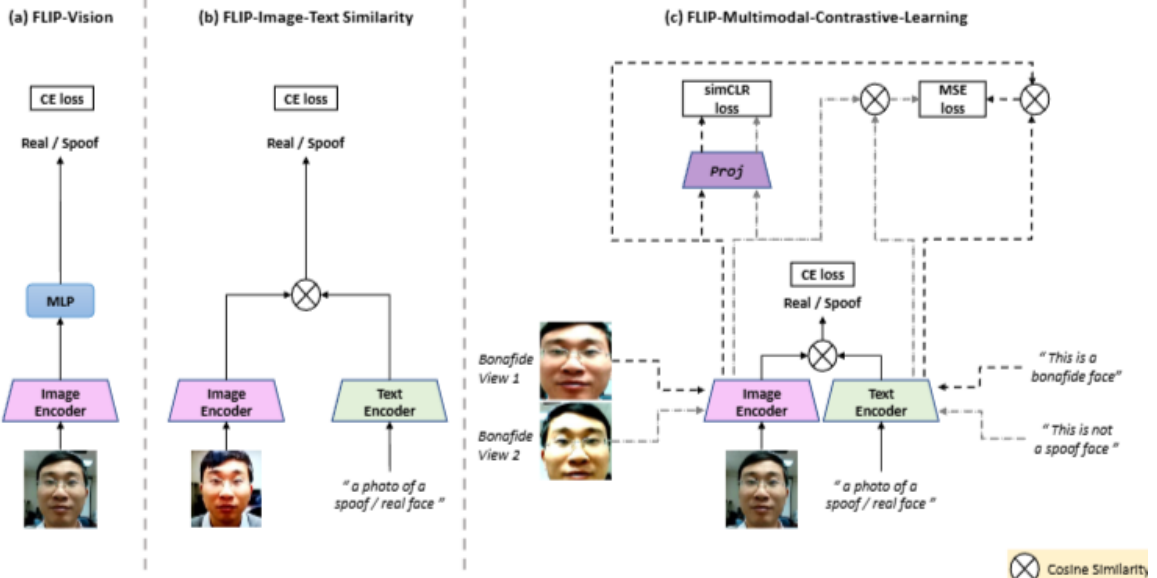
FLIP 핵심 아이디어: Vision-Language Pre-trained (VLP) 모델 활용

- **VLP 모델이란? (e.g. CLIP)**
 - 수백만 개의 **이미지-텍스트 쌍**으로 사전 학습된 모델. (CLIP은 4억개의 이미지 쌍을 학습)
 - 이미지와 텍스트를 **동일한 임베딩 공간**에 매핑하는 능력 학습
 - 결과적으로 시각적 정보와 언어적 의미를 동시에 이해하고 표현
- **FLIP 프레임워크의 목표**
 - VLP 모델의 이미지 인코더로 FAS 모델을 Fine-tuning하여 일반 이미지 사전 학습 능력을 향상
 - VLP 모델의 텍스트 인코더를 사용하여 FAS 성능 향상에 기여
 - VLP 모델을 FAS에 적용할 때, **Self-supervised learning 기법**을 추가하여 일반화 능력을 더욱 향상

4. Introducing FLIP: The Framework Overview

FLIP framework

- **Base model:** CLIP (Contrastive Language-Image Pre-training)
- 세 가지 Protocol 제안
 - **FLIP-Vision (FLIP-V):** 사전 학습된 ViT의 이미지 인코더만 Fine-tuning 하고 MLP head를 추가.
 - **FLIP-Image-Text Similarity (FLIP-IT):** FLIP-V에 텍스트 인코더를 추가하여 이미지 표현을 클래스별 텍스트 프롬프트 임베딩과 align 하여 분류
 - **FLIP-Multimodal-Contrastive-Learning (FLIP-MCL):** FLIP-IP에 Multimodal contrastive learning을 추가하여 일반화 성능(Generalizability)을 극대화 → 최종 제안 기법



4.1. FLIP-Vision (FLIP-V)

- **아이디어:** CLIP의 사전 학습된 ViT 이미지 인코더를 FAS task에 맞게 fine-tune

(a) FLIP-Vision

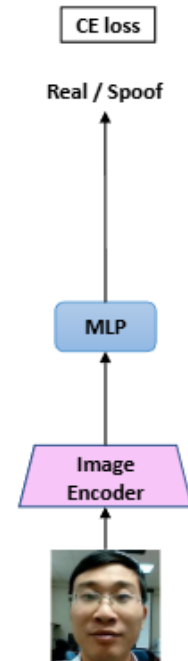
• 구조

- 입력 이미지 $I \rightarrow$ CLIP ViT 이미지 인코더 $V \rightarrow$ 최종 클래스 톤 $c_K \rightarrow$ ImageProj \rightarrow Image representation x
- x 를 Multi-Layer Perceptron Classification head에 통과시켜 Real/Spoof 예측

- **학습:** 표준 Cross-Entropy Loss 사용

$$L_{ce} = \text{CrossEntropy}(MLP(x), y_{true})$$

- **핵심:** CLIP 모델의 '시각적 특징' 일반화 능력을 FAS에 활용



4.2. FLIP-Image-Text Similarity (FLIP-IT)

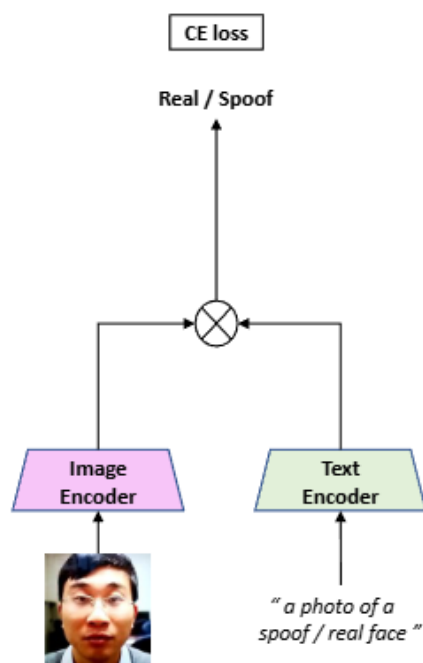
- **Language Guidance** 도입
- **핵심 아이디어:** Image representation을 **Text prompt**의 semantic representation과 정렬하여 분류

- **작동 방식**

- 입력 이미지 $I \rightarrow$ ViT 인코더 $V \rightarrow$ 이미지 임베딩 x
- 'Real' 및 'Spoof' 클래스를 설명하는 **텍스트 프롬프트** (e.g. "This is a real face", "This is a spoof face") \rightarrow CLIP 텍스트 인코더 $L \rightarrow$ 텍스트 임베딩 z_r, z_s
- **Ensemble:** 클래스당 여러 프롬프트를 사용하여 텍스트 임베딩의 평균(\bar{z})을 사용 \rightarrow Robust Representation Learning
- 이미지 임베딩 x 와 텍스트 임베딩 \bar{z} 간의 **Cosine similarity**를 계산하여 Logits으로 사용
- Softmax 함수를 통해 확률 계산

$$p(\hat{y}|x) = \frac{\exp(\text{sim}(x, \bar{z}_{\hat{y}})/\tau)}{\exp(\text{sim}(x, \bar{z}_r)/\tau) + \exp(\text{sim}(x, \bar{z}_s)/\tau)}$$

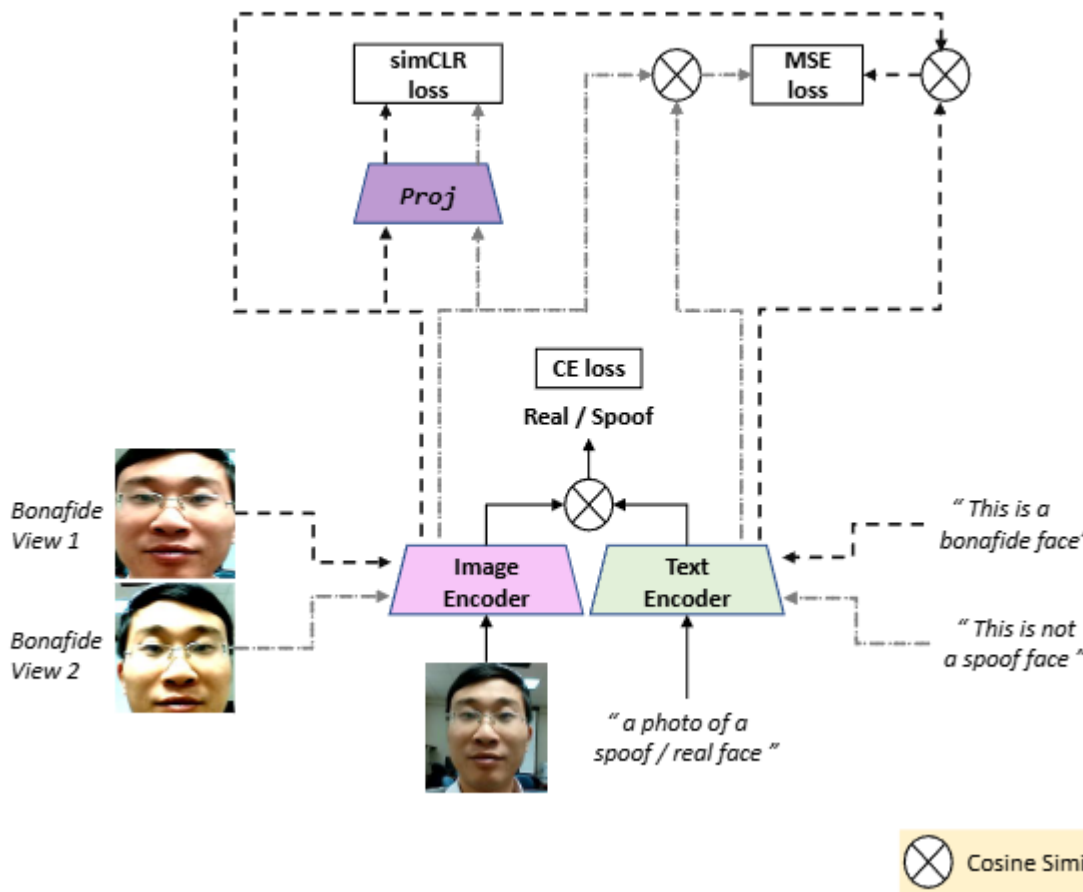
(b) FLIP-Image-Text Similarity



- 이점
 - 의미론적 '안내(Grounding / Guidance)': 위조 공격의 미세한 특징(e.g.: 종이 질감, 화면 왜곡)을 텍스트 설명이라는 명확한 의미 기준에 연결
 - **도메인 간극 완화:** 텍스트는 이미지보다 도메인 변화에 덜 민감할 수 있으며, 이미지 특징을 텍스트 의미에 맞추면 일반화 성능 향상

4.3. FLIP-Multimodal-Contrastive-Learning (FLIP-MCL)

(c) FLIP-Multimodal-Contrastive-Learning



- 핵심 아이디어: FLIP-IT에 **Self-Supervised Learning** 및 **Image-Text Similarity Consistency**을 추가하여 임베딩의 Robustness와 Domain-invariance 강화
- 전체 손실 함수

$$L_{mcl} = \alpha L_{ce} + \beta L_{simCLR} + \gamma L_{mse}$$

- L_{simCLR} (Image-based Contrastive Loss)**

- 동일 이미지 I 에 서로 다른 변환(view) I_{v1}, I_{v2} 를 적용
 - 각 view의 features x_{v1}, x_{v2} 를 non-linear projection network H 를 통해 h_{v1}, h_{v2} 로 변환
 - h_{v1}, h_{v2} 간의 Contrastive learning으로 유사성 최대화

$$\mathbf{x}^{v_1} = \mathcal{V}(I^{v_1}), \quad \mathbf{x}^{v_2} = \mathcal{V}(I^{v_2})$$

$$\mathbf{h}_1 = \mathcal{H}(\mathbf{x}^{v_1}), \quad h_2 = \mathcal{H}(\mathbf{x}^{v_2}) \quad \mathbf{h}_1, \mathbf{h}_2 \in \mathbb{R}^{d_h}.$$

$$L_{simCLR} = \text{simCLR}(\mathbf{h}_1, \mathbf{h}_2)$$

- L_{mse} (**Image-Text View Consistency Loss**)
 - 두 개의 다른 Image view(x_{v1}, x_{v2})와 두 개의 다른 Text prompt view (z_{v1}, z_{v2})를 사용
 - 두 이미지-텍스트 쌍에서 계산된 Cosine similarity 점수($\text{sim}(x_{v1}, z_{v1})$ 과 $\text{sim}(x_{v2}, z_{v2})$) 간의 평균 제곱 오차(**MSE**) 최소화
 - 목적: 이미지-텍스트 뷰 쌍의 일관성을 강제. 도메인 간극 완화에 기여

$$L_{mse} = (\text{sim}(\mathbf{x}^{v_1}, \mathbf{z}^{v_1}) - \text{sim}(\mathbf{x}^{v_2}, \mathbf{z}^{v_2}))^2$$

5. Experiment Setup

- Datasets & DG Protocols
 - Protocol 1: MSU-MFSD(M), CASIA-MFSD(C), Replay Attack(I), OULU-NPU(O)
 - Protocol 2: WMCA(W), CASIA-CeFA(C), CASIA-SURF(S)
 - Protocol 3: 12개 Single-source to Single-target 시나리오
 - CelebA-Spoof: 보조 훈련 데이터
- Evaluation Metrics
 - Half Total Error Rate (HTER) ↓
 - Area Under ROC Curve (AUC) ↑
 - True Positive Rate at Fixed False Positive Rate (TPR@FPR=1%) ↑
- 비교 대상
 - SOTA Domain Generalization 방법
 - ViT 기반 FAS
 - **Zero-shot vs Five-shot**: 제안된 방법의 0-shot 성능으로 5-shot SOTA를 능가함을 강조

- Implementation
 - Image size: $224 \times 224 \times 3$
 - Patch size: 16×16
 - Optimizer: Adam, Learning Rate: 10^{-6} , Weight decay: 10^{-6}
 - CLIP ViT base 사용
 - two-layer MLP head
 - Image representation $d_v = 768$
 - Vision-Language embedding dim $d_{vl} = 512$

6. Results

- Average HTER
- Protocol 1

Table 2. Evaluation of cross-domain performance in Protocol 1, between MSU-MFSD (M), CASIA-MFSD (C), Replay Attack (I) and OULU-NPU (O). We run each experiment 5 times under different seeds and report the mean HTER, AUC, and TPR@FPR=1%.

Method	OCI → M			OMI → C			OCM → I			ICM → O			Avg.	
	HTER	AUC	TPR@FPR=1%	HTER	AUC	TPR@FPR=1%	HTER	AUC	TPR@FPR=1%	HTER	AUC	TPR@FPR=1%		
0-shot	MADDG (CVPR' 19) [38]	17.69	88.06	—	24.50	84.51	—	22.19	84.99	—	27.98	80.02	—	23.09
	MDDDR (CVPR' 20) [44]	17.02	90.10	—	19.68	87.43	—	20.87	86.72	—	25.02	81.47	—	20.64
	NAS-FAS (TPAMI' 20) [53]	16.85	90.42	—	15.21	92.64	—	11.63	96.98	—	13.16	94.18	—	14.21
	RFMeta (AAAI' 20) [39]	13.89	93.98	—	20.27	88.16	—	17.30	90.48	—	16.45	91.16	—	16.97
	D ² AM (AAAI' 21) [6]	12.70	95.66	—	20.98	85.58	—	15.43	91.22	—	15.27	90.87	—	16.09
	DRDG (IJCAI' 21) [28]	12.43	95.81	—	19.05	88.79	—	15.56	91.79	—	15.63	91.75	—	15.66
	Self-DA (AAAI' 21) [46]	15.40	91.80	—	24.50	84.40	—	15.60	90.10	—	23.10	84.30	—	19.65
	ANRL (ACM MM' 21) [27]	10.83	96.75	—	17.85	89.26	—	16.03	91.04	—	15.67	91.90	—	15.09
	FGHv (AAAI' 21) [26]	9.17	96.92	—	12.47	93.47	—	16.29	90.11	—	13.58	93.55	—	12.87
	S SSDG-R (CVPR' 20) [18]	7.38	97.17	—	10.44	95.94	—	11.71	96.59	—	15.61	91.54	—	11.28
5-shot	SSAN-R (CVPR' 22) [48]	6.67	98.75	—	10.00	96.67	—	8.88	96.79	—	13.72	93.63	—	9.80
	PatchNet (CVPR' 22) [42]	7.10	98.46	—	11.33	94.58	—	13.40	95.67	—	11.82	95.07	—	10.90
	GDA (ECCV' 22) [67]	9.20	98.00	—	12.20	93.00	—	10.00	96.00	—	14.40	92.60	—	11.45
	DiVT-M (WACV' 23) [23]	2.86	99.14	—	8.67	96.62	—	3.71	99.29	—	13.06	94.04	—	7.07
	ViT (ECCV' 22) [16]	1.58	99.68	96.67	5.70	98.91	88.57	9.25	97.15	51.54	7.47	98.42	69.30	6.00
0-shot	ViT (ECCV' 22) [16]	3.42	98.60	95.00	1.98	99.75	94.00	2.31	99.75	87.69	7.34	97.77	66.90	3.76
	ViTAf* (ECCV' 22) [16]	2.92	99.62	91.66	1.40	99.92	98.57	1.64	99.64	91.53	5.39	98.67	76.05	3.31
	FLIP-V	3.79	99.31	87.99	1.27	99.75	95.85	4.71	98.80	75.84	4.15	98.76	66.47	3.48
0-shot	FLIP-IT	5.27	98.41	79.33	0.44	99.98	99.86	2.94	99.42	84.62	3.61	99.15	84.76	3.06
	FLIP-MCL	4.95	98.11	74.67	0.54	99.98	100.00	4.25	99.07	84.62	2.31	99.63	92.28	3.01

- SOTA 0-shot ViT: 6.00%
- 5-shot ViTAF: 3.31%
- FLIP-V: 3.48%
- FLIP-IT: 3.06%
- FLIP-MCL: 3.01%

- Protocol 2

Table 3. Evaluation of cross-domain performance in Protocol 2, between CASIA-SURF (S), CASIA-CeFA (C), and WMCA (W). We run each experiment 5 times under different seeds and report the mean HTER, AUC, and TPR@FPR=1%

Method	CS → W			SW → C			CW → S			Avg.	
	HTER	AUC	TPR@FPR=1%	HTER	AUC	TPR@FPR=1%	HTER	AUC	TPR@FPR=1%		
0-shot	ViT (ECCV' 22) [16]	7.98	97.97	73.61	11.13	95.46	47.59	13.35	94.13	49.97	10.82
5-shot	ViT (ECCV' 22) [16]	4.30	99.16	83.55	7.69	97.66	68.33	12.26	94.40	42.59	6.06
	ViTAF* (ECCV' 22) [16]	2.91	99.71	92.65	6.00	98.55	78.56	11.60	95.03	60.12	5.12
0-shot	FLIP-V	6.13	97.84	50.26	10.89	95.82	53.93	12.48	94.43	53.00	9.83
	FLIP-IT	4.89	98.65	59.14	10.04	96.48	59.4	15.68	91.83	43.27	10.2
	FLIP-MCL	4.46	99.16	83.86	9.66	96.69	59.00	11.71	95.21	57.98	8.61

- Protocol 3: Challenging Single-Source to Target

Table 4. Evaluation of cross-domain performance in Protocol 3, for all the 12 different combinations between MSU-MFSD (M), CASIA-MFSD (C), Replay Attack (I) and OULU-NPU (O). We run each experiment 5 times under different seeds and report the mean HTER.

Method	C → I	C → M	C → O	I → C	I → M	I → O	M → C	M → I	M → O	O → C	O → I	O → M	Avg.
0-shot	ADDA (CVPR' 17) [40]	41.8	36.6	-	49.8	35.1	-	39.0	35.2	-	-	-	39.6
	DRCN (ECCV' 16) [12]	44.4	27.6	-	48.9	42.0	-	28.9	36.8	-	-	-	38.1
	DupGAN (CVPR' 18) [15]	42.4	33.4	-	46.5	36.2	-	27.1	35.4	-	-	-	36.8
	KSA (TIFS' 18) [21]	39.3	15.1	-	12.3	33.3	-	9.1	34.9	-	-	-	24.0
	DR-UDA (TIFS' 20) [45]	15.6	9.0	28.7	34.2	29.0	38.5	16.8	3.0	30.2	19.5	25.4	27.4
	MDDR (CVPR' 20) [44]	26.1	20.2	24.7	39.2	23.2	33.6	34.3	8.7	31.7	21.8	27.6	22.0
	ADA (ICB' 19) [43]	17.5	9.3	29.1	41.5	30.5	39.6	17.7	5.1	31.2	19.8	26.8	31.5
	USDAN-Un (PR' 21) [19]	16.0	9.2	-	30.2	25.8	-	13.3	3.4	-	-	-	16.3
	GDA (ECCV' 22) [67]	15.10	5.8	-	29.7	20.8	-	12.2	2.5	-	-	-	14.4
	CDFTN-L (AAAI' 23) [56]	1.7	8.1	29.9	11.9	9.6	29.9	8.8	1.3	25.6	19.1	5.8	6.3
0-shot	FLIP-V	15.08	13.73	12.34	4.30	9.68	7.87	0.56	3.96	4.79	2.09	5.01	6.00
	FLIP-IT	12.33	15.18	7.98	1.12	8.37	6.98	0.19	5.21	4.96	0.16	4.27	5.63
	FLIP-MCL	10.57	7.15	3.91	0.68	7.22	4.22	0.19	5.88	3.95	0.19	5.69	8.40
													4.84

- 정리

- FLIP-V 만으로도 FAS 성능이 향상됨
- FLIP-IT에서 Language guidance로 성능 추가 향상
- FLIP-MCL, Multimodal contrastive learning으로 SOTA 성능 달성, 일부 지표에서는 0-shot 성능이 5-shot 성능을 능가함

7. Ablation Studies

- Comparing ViT initialization methods for FAS

Table 5. Comparing different ViT initialization methods for FAS. We use each initialization method with their default parameters and show the results for **Protocol 1**.

Method	OCI → M		OMI → C		OCM → I		ICM → O		Avg.
	HTER	AUC	HTER	AUC	HTER	AUC	HTER	AUC	HTER
Scratch	18.32	87.36	40.05	61.13	19.22	88.15	29.72	73.66	25.86
BeIT [1]	4.73	98.46	7.86	96.62	13.51	92.42	15.19	91.95	8.70
ImageNet [16]	1.58	99.68	5.70	98.91	9.25	97.15	7.47	98.42	6.00
CLIP (FLIP-V)	3.79	99.31	1.27	99.75	4.71	98.80	4.15	98.76	3.48

- Impact of different text prompts

Prompt No.	Real Prompts	Spoof Prompts
P1	This is an example of a real face	This is an example of a spoof face
P2	This is a bona fide face	This is an example of an attack face
P3	This is a real face	This is not a real face
P4	This is how a real face looks like	This is how a spoof face looks like
P5	A photo of a real face	A photo of a spoof face
P6	This is not a spoof face	A printout shown to be a spoof face

Table 1. Natural language descriptions (context prompts) of the real and spoof classes used to guide the FLIP-IT model.

Table 6. Impact of guidance with different text prompts (described in **Table 1**). We use FLIP-IT and show the results for **Protocol 1**.

Prompt	OCI → M		OMI → C		OCM → I		ICM → O		Avg.
	HTER	AUC	HTER	AUC	HTER	AUC	HTER	AUC	HTER
P1	6.00	98.17	0.54	99.97	3.60	99.19	3.47	99.24	3.40
P2	8.32	96.38	1.05	99.90	2.98	99.48	5.74	98.39	4.52
P3	4.68	98.43	0.21	99.99	4.30	99.06	4.07	99.02	3.31
P4	5.78	97.91	0.65	99.93	3.72	99.21	3.54	99.28	3.42
P5	6.48	98.37	0.46	99.96	2.52	99.55	3.24	99.30	3.17
P6	5.58	98.00	0.3	99.99	2.85	99.28	3.03	99.46	2.94
Ensemble	5.27	98.41	0.44	99.98	2.94	99.42	3.61	99.15	3.06

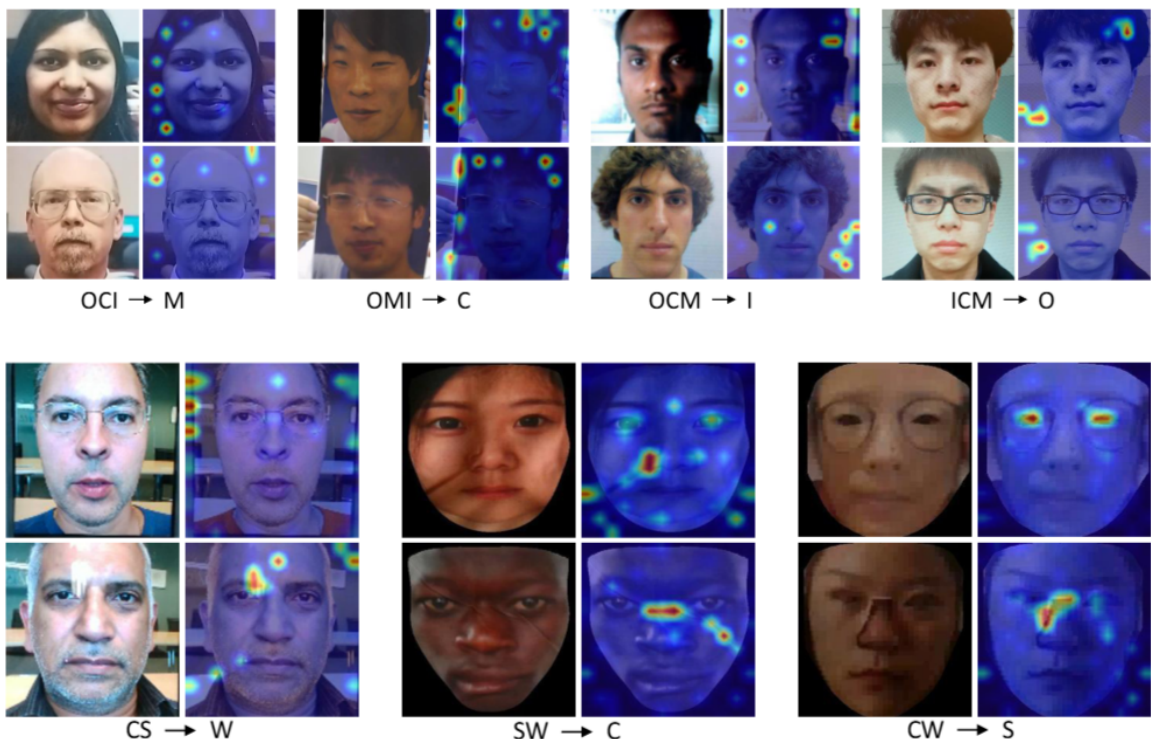
- Contribution of different loss terms

Table 7. Average HTER performance under different loss weights for Protocol 1. $L_{mcl} = \alpha L_{ce} + \beta L_{simCLR} + \gamma L_{mse}$

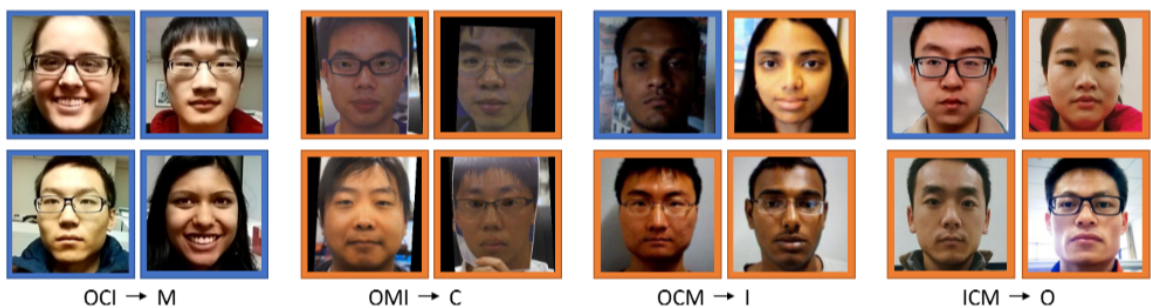
(α, β, γ)	(1,1,1)	(1,1,0)	(1,0,1)	(1,2,2)	(1,5,5)
HTER	3.01	3.15	3.47	3.20	3.67

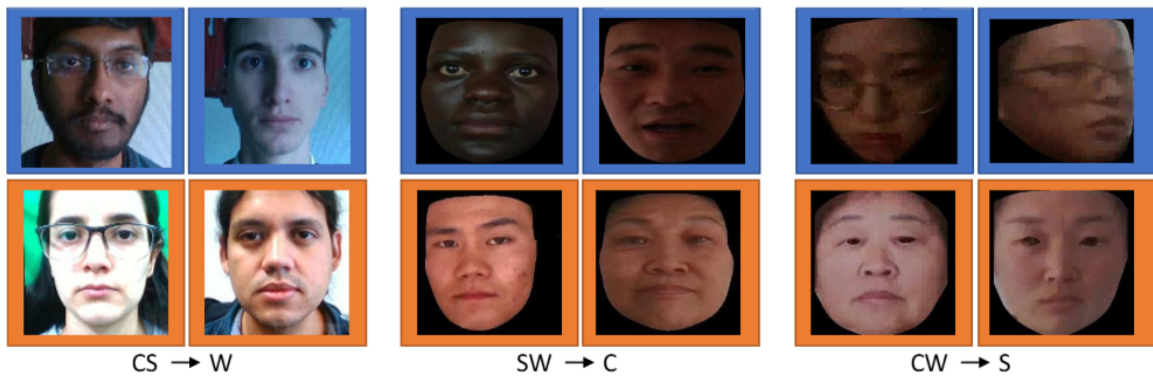
8. Visualization

- Attention Maps (Spoof Images)



- 모델이 위조 특징(e.g. 종이 질감, 테두리, 모아레 패턴, 옷 주름, 화면 가장자리)을 효과적으로 감지하고 있음을 보여줌
- Mis-classified Examples





- **Real → Spoof:** 낮은 해상도, 조명 변화, 배경 텍스처 등 실제 얼굴 특징이 위조처럼 오인되는 경우
- **Spoof → Real:** 고해상도 위조 샘플, 실제와 구분하기 어려운 정교한 위조 공격
- 일부 어려운 케이스가 존재하지만 전반적으로 모델이 복잡한 도메인 변화에도 잘 대처하고 있음
 - OCI → M, no false positive cases
 - For OCM → I, 실제 샘플의 0.62%만 잘못 분류됨을 관찰
 - For ICM → O, 실제 샘플의 0.2%가 Spoofing으로 오분류

9. Conclusion

- **강점**
 - 탁월한 Cross-Domain generalize performance
 - VLP 모델 활용하여 간결한 접근 방식
 - Text prompt의 효과적 활용
 - 견고성 강화: Multimodal contrastive learning으로 다양한 환경에 대한 Robustness 확보
- **한계점**
 - 계산 비용 증가: Text encoder의 활용으로 학습 및 추론 시 추가적인 연산 필요
 - VLP 모델 의존성: CLIP 모델의 품질 및 일반화 성능에 따라 FAS 성능이 결정됨
 - 효과적인 프롬프트 구성을 위한 Domain/Attack 특성에 대한 이해 필요
- **결론**

- VLP 모델(CLIP)을 FAS에 직접 적용하는 것은 매우 효과적이며, 특히 Language-guidance와 multimodal contrastive learning을 결합한 FLIP 프레임워크는 SOTA Cross-domain generalization performance를 달성함
 - 시각적 특징을 언어적 의미와 결합하여 FAS의 복잡한 문제를 해결할 잠재력이 있음을 보여줌
- **향후 연구 방향**
 - 다른 **VLP 모델 탐색**: BERT, ALIGN, BLIP 등 다양한 VLP 모델로 일반화 가능성 검증
 - **Prompt Learning**: 고정된 프롬프트 대신 학습 가능한 프롬프트나 dynamic 프롬프트 생성 방식 연구
 - **효율성 개선**: Text Encoder의 연산 부담을 줄이기 위한 경량화, Knowledge distillation 등의 연구
 - 실시간 추론 속도 향상 및 다양한 실제 환경 데이터셋에서의 검증

10. Q&A